



تأثير شحنة الفراغ على تصميم قاذف الكتروني باستخدام عدسة كهروستاتيكية مغمورة خماسية الأقطاب

بشرى هاشم حسين

قسم علوم الفيزياء / كلية التربية للعلوم الصرفة (ابن الهيثم) / جامعة بغداد

استلم البحث في 28 تشرين الثاني 2011 ، قبل البحث في 21 ايار 2012

الخلاصة

صممت عدسة كهروستاتيكية خماسية الأقطاب تعمل في حالة التكبير الصفرى لاستخدامها عدسة معجلة في تصميم القاذف الإلكتروني بالاستعانة طرائق تصميم العدسات وهي طريقة التحليل التي تعد من الطرائق المهمة والشائعة الاستخدام في تصميم العدسات، فقد تم اولا اختيار شكل مناسب لأقطاب هذه العدسة، ومن ثم حساب توزيع الجهد المحوري على هذه الأقطاب من خلال حل معادلة بوزان، ومن خلال حساب الجهد المحوري ومعادلة المسار المحوري تمكنا من دراسة الخواص البصرية من بعد بؤري ومعاملات الزياوغ (الكروية واللونية) واخيرا حساب خواص القاذف الذي تم تصميمه اذ بينت الحسابات امكانية تجهيز تيار $A = 10^{-4}$ من خلال استخدام راس كاثود ذي نصف قطر $r=100 \text{ nm}$

الكلمات المفتاحية : العدسات الالكتروستاتيكية، شحنة الفراغ، القاذف الإلكتروني، معاملات الزياوغ الكروية واللونية، طريقة العناصر المتماثلة (Finite Element Method)



المقدمة

تُعد البصريات الإلكترونية فرعاً من فروع علم الفيزياء الإلكترونية الذي يتعامل مع حركة الجسيمات المشحونة (إلكترونات أو الأيونات) في المجالات الكهربائية والمغناطيسية، من حيث انتشار وإنتاج وانتقال وتبير الحزم الإيونية والإلكترونية. إن أي مجال الكتروستاتيكي متماثل محوريًا هو عدسة الكتروستاتيكية. وإن المجالات الإلكتروستاتيكية تنتج من مجموعة من الأقطاب ذي جهود ملائمة (أي ان لكل قطب جهد) وان هذه العدسات تستخدم لتبير الحزم الإلكترونية [1].

تعد القاذفة الإلكترونية المصدر الرئيس للحزمة الإلكترونية والجزء المهم في أي نظام بصري إلكتروني، تتألف القاذفة من مصدر لانبعاث الإلكترونات الحرجة (Free electron) الذي يمثل الكاثود وأقطاب لتشكيل الحزمة (Forming electrode) والسيطرة عليها وتركيزها وتعجيلها التي تمثل الأنود.

يستخدم القاذف الإلكتروني في عدد كبير من الأجهزة منها قاذف الرادار (Radar gun) شاشة الكمبيوتر والتلفاز (CRTs) وغيرها [2].

إن انتشار استخدام الكمبيوتر في التصاميم النظرية أدى إلى التوسع الكبير في البحث والدراسات في مجال تصميم منظومات البصريات الإلكترونية فقد قام Munro & Smith عام 1986 بوضع برنامج حاسوبية جديدة لتطوير التصاميم المتعددة والمتنوعة لأنظمة الحزم الإلكترونية والإيونية وباستخدام طرائق رياضية مختلفة مثل طريقة كثافة الشحنة (Charge Density Method) وطريقة العناصر المتماثلة (Finite Element Method (FEM)) وذلك لحساب توزيع المجال على العدسات الإلكترونية و الخواص البصرية لها [3].

في عام 2001 قامت الباحثة Al-Mudarris بدراسة في مجال البصريات الإلكترونية، اذ تركز البحث على محاكاة تصميم منظومة نقل وتبير بصيرية -ايونية مكونة من مختلف انواع العدسات الكهروستاتيكية تعمل باطوار وظروف تكبير مختلفة [4]، في عام 2008 قام et al Xiaowei Gu ، بتصميم قاذف الكتروني كاثوده من البلازما وتم استخدامه في المايكروويف العالي الكهربائية [5] ، في عام 2011 Nehra et al 2011 تم تصميم ومحاكاة وتبير قاذف الكتروني باستخدام [6] OPERA 3D

هدف الدراسة الحالية تصميم عدسة مغمورة عدسة مغمورة تعمل قاذفاً الكتروني حيث اذ تصممت العدسة باستخدام طريقة التحليل (Analysis) تعد هذه الطريقة الاكثر استخداماً في تصميم العدسات الكهروستاتيكية، اذ يبدأ المصمم في هذه الطريقة بعناصر معينة (الأقطاب) ويحاول ان يثبت صحة المنظومة التي يقوم بتصميمها ويتم ذلك من خلال توزيع الجهد المحوري Vz وتحليل الخواص البصرية وتغيير الابعاد الهندسية لهذه العدسات للوصول الى افضل النتائج وبعد الحصول على عدسة ذي خواص بؤرية جيدة واقل زيوغ ممكنه نقوم بتصميم القاذف الإلكتروني ودراسة خواصه.

النظرية

تم استخدام طريقة التحليل لتصميم عدسة مغمورة خمسية الأقطاب ان اساس عمل هذه الطريقة وكما معروف هو تقسيم العدسة او الأقطاب او أي منطقة يراد دراستها الى عدد كبير من المناطق او الأجزاء الثانوية الصغيرة التي تدعى بالعناصر المحددة وهذه العناصر غالباً ما تكون على شكل مثلثات اذ يتم توزيع الجهد على كل جزء من اجزاء العدسة وستستخدم هذه الطريقة وذلك لسهولة تعاملنا مع شكل الأقطاب [7].

لقد حسب توزيع الجهد المحوري لهذه العدسة من خلال حل معادلة بوزان Poisson's Equation [8] :

$$\nabla^2 V = \frac{-\rho}{\epsilon_0} \quad (1)$$

اذ ان V يمثل الجهد الإلكتروني مقاساً بوحدة الفولت من خلال حل معادلة الشعاع المحوري (Paraxial ray equation) باستخدام طريقة رنج -كتا ذي الرتبة الرابعة (Fourth-order Runge-Kutta technique) تمكننا من دراسة مسار الجسيمات المشحونة ($r(z)$)

$$2r''V + r'V' + r\left(\frac{V''}{2}\right) = \frac{I}{2\pi\epsilon_0(2\eta V)^{1/2} R} \quad (2)$$

حيث V'' ، V' ، r'' ، r' تمثل المشتقة الأولى والثانية للجهد الإلكتروني بالتناسب إلى (z)
 r تمثل المشتقة الأولى والثانية لمسار الجسيمات المشحونة ($r(z)$) بالتناسب إلى (z)
 R تمثل المسافة على المحور
 I يمثل تيار القاذف الإلكتروني و يقاس بوحدة الأمبير A



تمثل المعادلة (2) معادلة الشعاع المحوري التي تصف مسار الجسيمات المشحونة في المجال الكهروستاتيكي المتماثل دورانيًا وهي معادلة تفاضلية خطية متجانسة من الدرجة الثانية (Second-order linear homogenous differential equation) وتميز هذه المعادلة بانها معادلة متجانسة بالنسبة الى الجهد V [8].

ومن المعادلات التالية تم دراسة وحساب معاملات الزيون الكروية C_s ومعاملات الزيون اللوني C_c [9]:

$$C_{s_i} = \frac{1}{16V_0^{1/2}r_0'^4} \int_{z_0}^{z_i} \left\langle \left(\frac{5}{4} \left(\frac{V''}{V} \right)^2 + \frac{5}{24} \left(\frac{V'}{V} \right)^4 \right) r^4 + \frac{14}{3} \left(\frac{V'}{V} \right)^3 r' r^3 - \frac{3}{2} \left(\frac{V'}{V} \right) r'^2 r^2 \right\rangle V^{1/2} dz \quad (3)$$

اذ ان

C_{s_i} معامل الزيون الكروي في جانب الصورة

Z_i هو مستوى الصورة

V_0 تمثل الجهد في مستوى الجسم

$$C_{c_i} = \frac{V^{1/2}}{r^2} \int_{z_0}^{z_i} \left(\frac{V'}{2V} r' r + \frac{V''}{4V} r^2 \right) V^{-1/2} dz \quad (4)$$

C_{c_i} معامل الزيون اللوني في جانب الصورة وبعد اختيار العدسة المناسبة ودراسة خواصها البصرية تم حسبت خواص القاذف الإلكتروني من كثافة تيار، وتيار القاذف، والاضاءة او السطوعية، الانشارية، شحنة الفراغ.

1- كثافة التيار المحدد بشحنة الفراغ (Space charge limited current density)

عند تصميم القاذف هذا فإنه يتم الحصول على التيار بوضع فرق جهد بين اقطاب القاذف لتعجيل الالكترونات الحرقة ويطلق على هذا التيار بالتيار المحدد بشحنة الفراغ Space charge limited current child's law و وضع العالم child's law ينبع من كثافة التيار بين اقطاب مستوية متوازية بينهما فرق جهد مقداره V بوحدة cm مسافة d عرف باسمه three-halves power law [10] :

$$J_C = \frac{4\epsilon_0}{9} \sqrt{\frac{2e}{m}} \frac{V_a^{3/2}}{d^2} \\ = 0.0233 \frac{V_a^{3/2}}{d^2} \quad (5)$$

اذ ان

J_C كثافة التيار المحدد بشحنة الفراغ وحدتها A/cm^2

V_a الجهد على الانود وحداته V

2- تيار القاذف الإلكتروني (Electron gun current)

الذي يمثل كمية الالكترونات والشحنات الماره خلال وحدة المساحة [1].

$$I = \pi r^2 J \quad (6)$$

اذ ان:

I تيار القاذف الإلكتروني ويقاس بوحدة الامبير A

r يمثل نصف قطر فتحة الكاثود .

3- الاضاءة او السطوعية (Brightness)

التي تمثل كثافة التيار لكل زاوية صلدة [1]current density/ solid angle .



$$B = \frac{I}{(\pi r \gamma)^2} \quad (7)$$

اذ ان

B الإضاءة او السطوعية وتقاس بوحدة A/m^2 sterad
 γ الزاوية النصف قطرية . radial angle

4- انتشارية القاذف الإلكتروني Perveance of electron gun

تستخدم الانتشارية لوصف حركة الحزم الإلكتروني (أشعة الجسيمات المشحونة) التي تؤثر فيها شحنة الفراغ وتعرف انتشارية رياضيا على أنها النسبة بين تيار الحزمة إلى فولتنية تعجيل الانود مرفوعة للاس 3/2 [11]

$$P = \frac{I}{V^{3/2}} \quad (8)$$

اذ ان P تقاس بوحدة $A/V^{3/2}$

النتائج والمناقشة

صممت عدسة مغمورة خماسية الأقطاب بطول 20mm ذي زيوغ قليلة تعمل عدسة مكبرة لقاذف الكتروني في حالة التكبير الصفرى.

1- حساب المجال الإلكتروني لعدسة مغمورة خماسية الأقطاب

يوضح الشكل (1) توزيع الجهد المحوري على طول المحور البصري Z للعدسة التي تم حسابها من معادلة (1) حيث ان الشكل يبين ان الجهد الكهربائي يبدا عند الكاثود ويكون اقل ممكناً (صفر) وبعدها يبدأ بالزيادة عند الانود الاول والثاني الى الخامس ،اذ تكون اعلى جهد له وهذا يبين بان العدسة معجلة ويكون توزيع الجهد وكما واضح في الشكل يأخذ شكل حرف S لأن العدسات المغمورة وكما هو معروف لها جهدين ثابتين ومختلفين بعضهما عن بعض وهذا ما يميزها بهذا الشكل .

2- حالة التكبير الصفرى Zero magnification condition

- حساب مسار الحزمة الإلكترونية
 - يوضح الشكل (2) مسار الحزمة الإلكترونية للعدسة المغمورة التي حسبت من المعادلة(2)
 - حساب الخواص البصرية للعدسة المغمورة خماسية الأقطاب لحالة التكبير الصفرى
- لقد تمت دراسة الخواص البصرية لهذه العدسة تحت تأثير حالة التكبير الصفرى عند تغيير نسب الجهدود (25-0) يوضح الشكلان (3)،(4) العلاقة بين معاملات الزيوغ الكروية واللونية على التوالي نسبة الى البعد البؤري في جانب الصورة Cc_i/F ، Cs_i/F دالة لنسبة الجهد V_i/V_0 ؛ اذ ان F يمثل البعد البؤري للصورة V_0 يمثلان فولتنية القطب في جانبي الجسم والصورة كما يوضح الشكلان ان كلا من الزيوغ الكروية واللونية نسبة الى البعد البؤري تقل بزيادة نسب الجهدود المعجلة (زيادة طاقة الجسيمات المشحونة).
- كما تم ايجاد العلاقة ما بين معامل الزيوغ الكروي في جانب الصورة نسبة الى طول العدسة L بوصفها دالة لنسبة الجهدود V_i/V_0 .

ذلك يوضح الشكلان (5) و (6) ان قيمة الزيوغ تقل بزيادة طاقة الجسيمات المشحونة أي بزيادة نسب الجهدود المعجلة وكما يظهر من الاشكال ان قيمة معامل الزيوغ اللونية نسبة الى طول العدسة اقل من قيمة معامل الزيوغ الكروية نسبة الى طول العدسة عند نسبة الجهد 20، اذ تصل قيمة معامل الزيوغ اللونية الى 0.018 اما معامل قيمة معامل الزيوغ الكروية فتصل الى 0.023

كما تمت دراسة تأثير تغير مساحة المقطع S على معاملات الزيوغ الكروي والزيوغ اللوني عند اخذ قيمة ثابتة للتيار مقدارها $I=10^{-4} A$ ، اذ نلاحظ من الشكل (7) ان معاملات الزيوغ Cc و Cs تقل بصورة واضحة مع زيادة مساحة المقطع ابتداء من مساحة المقطع $S=0.5mm^2$ تقريباً حتى تصل الى اقل قيمة لها عندما $S=3mm^2$. من ذلك الشكل نلاحظ ان قيمة الزيوغ تتراوح ، ما بين 1.671 الى 5.643 بالنسبة الى الزيوغ الكروي عند تغير مساحة المقطع ما بين $(0.5-3)mm^2$ وان قيمة الزيوغ اللوني تتراوح ما بين 1.203 الى 0.702 عند تغير مساحة المقطع $(0.5-3)mm^2$ وهذه القيم يمكن عدها فيما "جيدة لهذه الزيوغ عند وضع التصميم لهذه العدسات .

واخير أخذت قيم مختلفة للتيار ابتداء بالقيم القليلة $I=10^{-7} A$ ومن ثم الارتفاع بهذه القيم ودراسة تأثير تغير التيار في قيمة الزيوغ و لما كان تأثير شحنة الفراغ واضحاً في القيم العالية للتيار فقد تم التوصل الى قيم مقبولة للزيوغ عند $I=10^{-4} A$ ، ودرس بعد ذلك تأثير العوامل الأخرى في قيمة الزيوغ .

يبين الشكل (8) تغير معاملات الزيوغ الكروية النسبية مع تغير قيمة التيار عند اخذ قيمة ثابتة لمساحة المقطع $S=1mm^2$ ، ان معامل الزيوغ Cs يزداد بصورة واضحة مع زيادة التيار وذلك بسبب تأثير شحنة الفراغ حيث انها



تزداد بزيادة التيار، فعند قيمة $I = 1 \times 10^{-4} A$ فأن قيمة Cs/F تكون 1.502 وعند تغير قيمة التيار $I = 5 \times 10^{-4} A$ فأن قيمة Cs/F تكون 3.681 .

كما يبين الشكل (8) تغير معاملات الزيوغ اللونية مع تغير التيار فعند قيمة التيار تكون $I = 1 \times 10^{-4} A$ فأن قيمة Cc/F تكون 0.608 وتتغير عند قيمة $I = 5 \times 10^{-4} A$ لتصبح 0.881 .

دراسة خواص القاذف الإلكتروني

بعد الحصول على عدسة الكتروستاتيكية مغمورة خماسية الاقطاب ذي خواص بصرية جيدة (ذي زيوغ كروية ولوئنية قليلة وكما تم ذكرها سابقاً) باستخدام طريقة التحليل قمنا بدراسة خواص هذه العدسة قاذفاً الإلكتروني من كثافة تيار، وتيار القاذف، وضوء، وانتشارية، وشحنة فراغ التي تم حسابها من المعادلات (5-9) على التوالي وباستخدام $r=100\text{nm}$

كانت النتائج التي تم الحصول عليها جيدة مقارنة مع النتائج التي حصل عليها باحثان آخرين وكما موضح في الجدول رقم (1):

كتافة التيار $B = 1.622 \times 10^{14} \text{ A/m}^2$ ، تيار القاذف $I = 4 \times 10^{-4} \text{ A}$ ، الاضاءة او السطوعية $P = 1.7 \times 10^{-11} \text{ A/V}^{3/2}$ الانشارية

الاستنتاجات

- امكانية تصميم قاذف الكتروني باستخدام عدسة كهروستاتيكية مغمورة خماسية الاقطاب تعمل تحت ظرف التكبير الصغرى باقل زيج ممكن (كروي او لوبي)
- ان نسب جهود الاقطاب هي العامل المهم في الحصول على اقل قيم لمعاملات الزيوغ الكروية ولوئنية نسبة الى البعد البؤري .
- تعمل العدسة المغمورة عمل عدسة معجلة للالكترونات ومكربة .
- ان زيادة عدد الاقطاب تؤدي الى زيادة كفاءة خصائص القاذف الإلكتروني .
- كما هو معروف ان وجود شحنة الفراغ تزيد من قيم الزيوغ حيث ان زيادة قيم التيار تؤدي الى زيادة قيم معاملات الزيوغ وقد حصلنا على اقل قيم لمعاملات الزيوغ الكروية ولوئنية .

المصادر

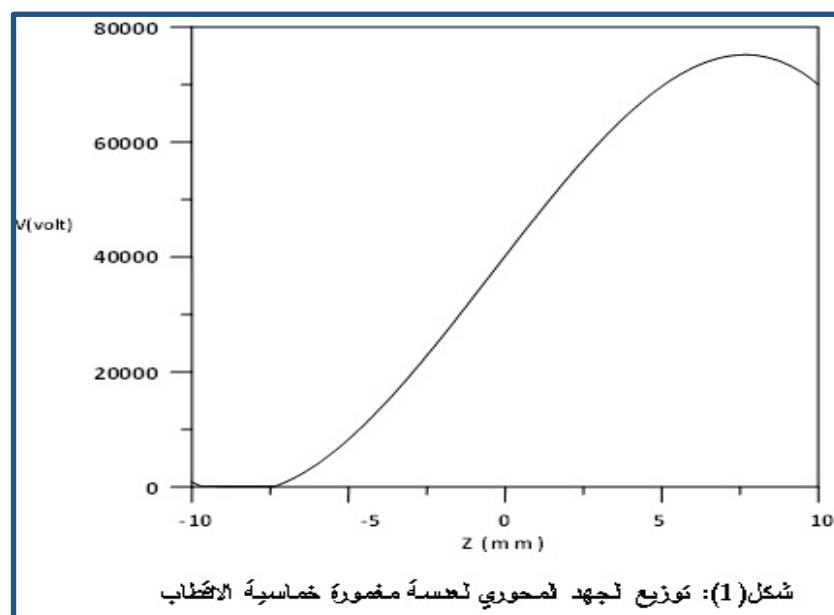
- 1- Sziligy, M. (1988), Electron and ion optics, Plenum Press, New York
- 2- Klempere, O. and Barnett, M. E. (1971), Electron optics, University of Cambridge, UK.
- 3- Smith, M. R. and Munro, E. (1987), Computer programs for designing multipole electron and ion optical systems, J.Vac. Sci. Technol, B5 , 161-164
- 4- Fatin A.J.Al-Mudarris (2001) " computer-Aided-Design of an ion-optical transport and focusing system", Ph.D.Thesis ,Al-Nharin University.
- 5-Xiaowei Gu, Lin Meng, Yiqin Sun, Xinhua Yu(2008), The Experimental Study of Novel Pseudospark Hollow Cathode Plasma Electron Gun, Journal of Infrared, Millimeter, and Terahertz Waves, Volume 29, Issue 11, pp 1032-1037
- 6-Ashok Nehra, Joshi, L.M.; Gupta, R.K., Shivani Sharma; Choyal, Y. and Sharma R.K. (2011), Design and simulation of pole piece for focusing of multi- beam electron gun, Journal of infrared, Millimeter, and Terahertz waves, 32, Issue (6): 793-800.
- 7-Munro,E.(1975), a set of computer programs for calculating the properties of electron lenses, Department of engineering report CUED/B-Elect TR45, University of Cambridge,UK.
- 8- Zhigarev, A. (1975),Electron Optics and Electron-Beam Devices, Mir Publishers Moscow.
- 9- Sziligy, M. (1987), A systematic Analysis of Two-Electrode Electrostatic Lenses, IEEE. Trans., Electron Device, ED-34 ,1848-1858
- 10- Bakish, R. (1962),Introduction to electron beam technology, Inc. New York, London
- 11- Grivet, P. (1972),Electron optics, Pergamon Press,Oxford and New York
- 12-Hozumi,Y; Ohsawa,S; Sugimura,T; and Ikeda,M. (2005), Development of electron gun of carbon nanotube cathode. IEEE Xplor20,Issue 16-20, 1392-1394.

13-Joseph A, Eichmerier Manfred Thumn, (2008), Vacuum electronics spring Publishers, New York, 535, 165

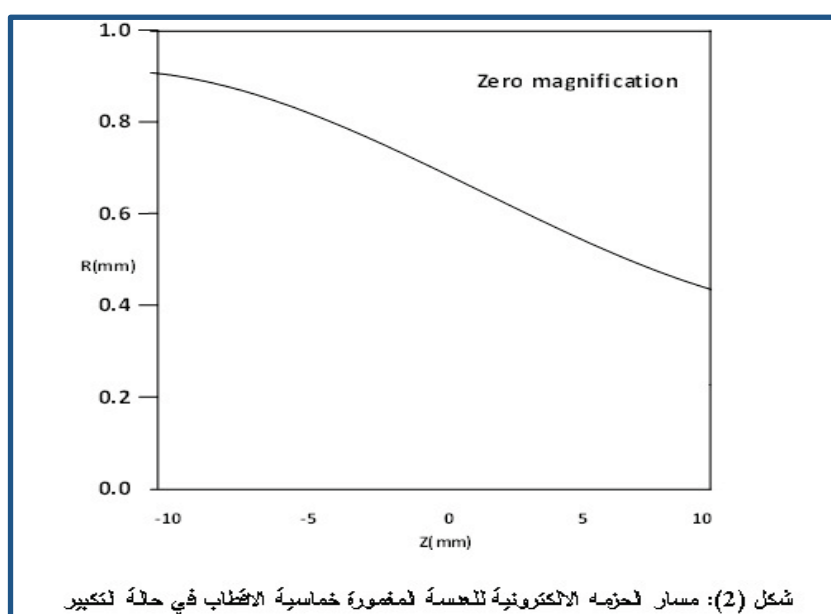
14- Rollett A.D. and Rollett D.N. Rollett (2008), Microscopy: overview of different methods, Advanced characterization and micro structural Analysis, Spring Publishers, New York.

جدول (1): مقارنة لخصائص القاذف الإلكتروني بين العمل الحالي وعمل باحثين آخرين

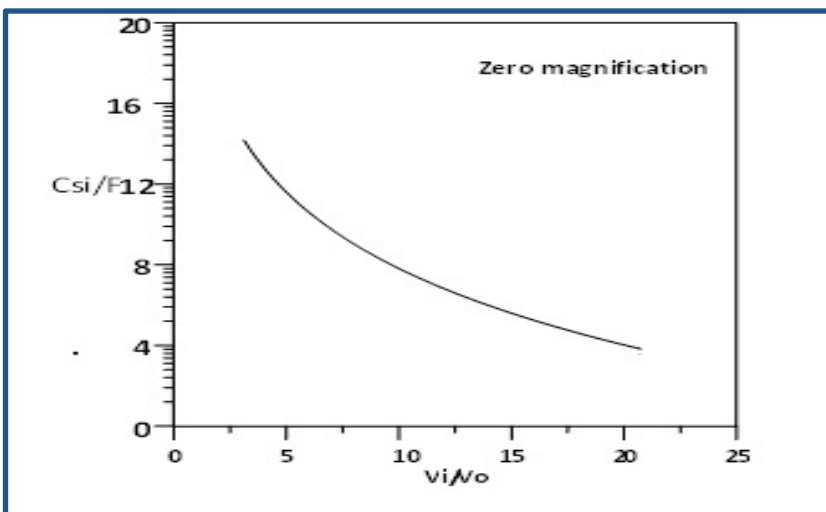
B (A/m ²)	J (A/m ²)	I A	Number of electrode	References
1.622×10^{14}	1.3×10^9	4×10^{-4}	5	Present Work
	9.1×10^{-4}	0.48	2	[12]
2×10^7	10		3	[13]
10^7		5×10^{-9}	2	[14]



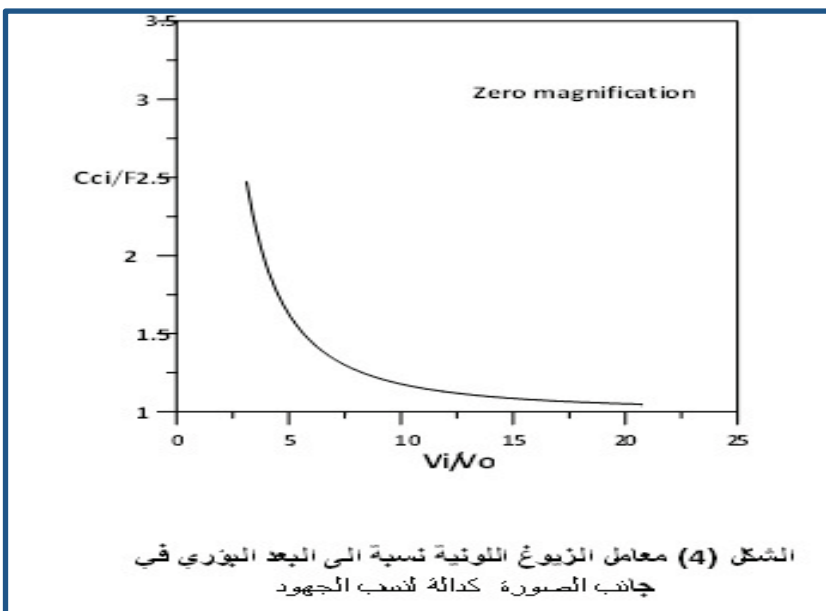
شكل (1): توزيع نجهد ذهوري لمحسسة مغمورة خماسية الاقطاب



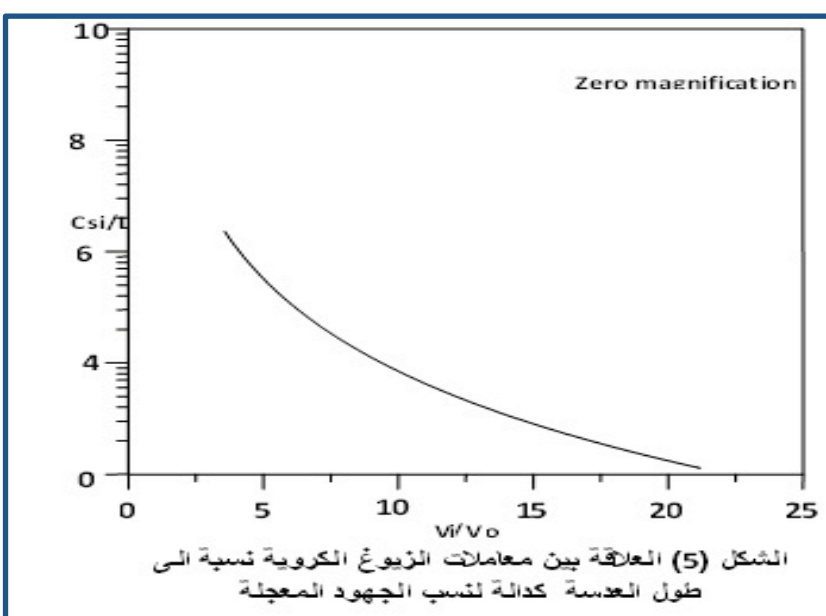
شكل (2): مسار لحزمه الإلكتروني لمحسسة مغمورة خماسية الاقطاب في حالة تكبير



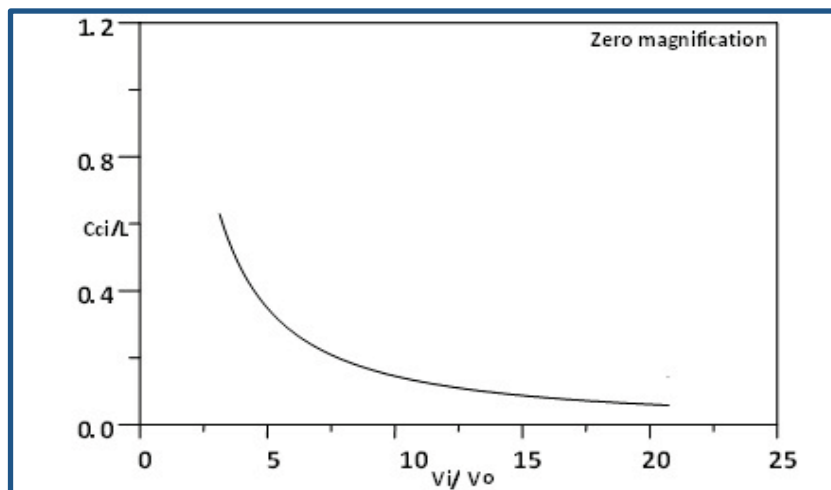
شكل (3) معامل الزیوغ الكرویة نسبیة الی البعد البیوری
فی جانب الصوره کدالة لنسب الجھود



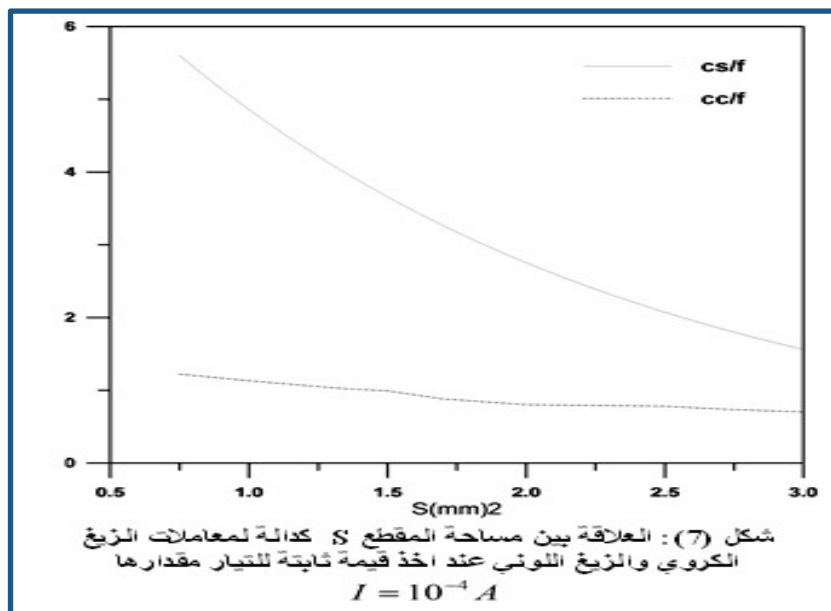
الشكل (4) معامل الزیوغ اللوئیة نسبیة الی البعد البیوری فی
جانب الصوره کدالة لنسب الجھود



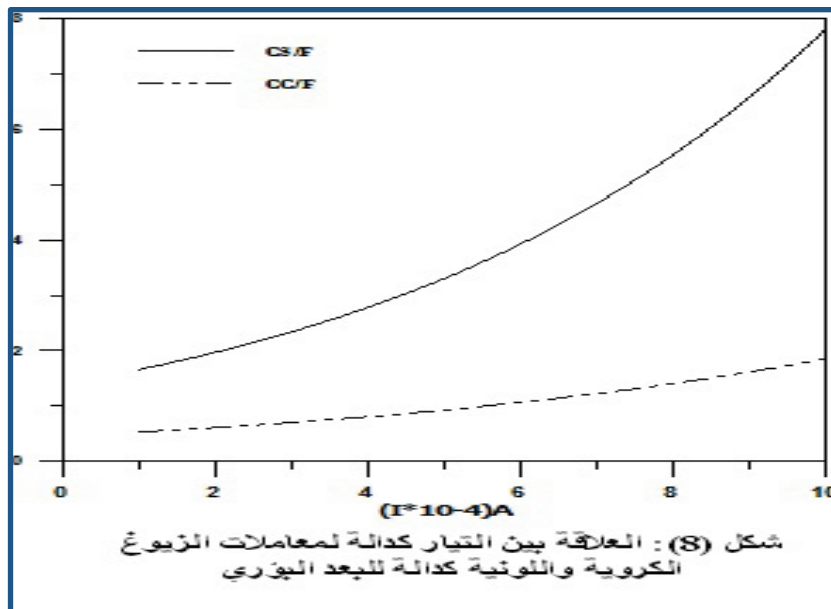
الشكل (5) العلاقة بین معاملات الزیوغ الكرویة نسبیة الی
طول العدسة کدالة لنسب الجھود المعجلة



الشكل (6) العلاقة بين معاملات الزيوج اللوتية نسبة الى طول العدسة كدالة لنسبي الجهد المعدل



شكل (7): العلاقة بين مساحة المقطع S كدالة لمعاملات الزيوج الكروي والزيوج اللوتى عند اخذ قيمة ثابتة للتيار مقدارها $I = 10^{-4} A$



شكل (8): العلاقة بين التيار كدالة لمعاملات الزيوج الكروية واللوتية كدالة للبعد البؤري



Space Charge Effect for Design Electron Gun Using Five Electrode Immersion Electrostatic Lenses

Bushra H. Hussein

Dept. of Physics/College of Education For Pure Science(Ibn Al-Haitham) /
University of Baghdad

Received in :28 November 2011 , Accepted in : 21 May 2012

Abstract

Computer theoretical study has been carried out on the design of five electrode immersion electrostatic lens used in electron gun application. The finite element method (FEM) is used in the solution of the Poisson's equation fro determine axial potential distribution, the electron trajectory under Zero magnification condition .

The optical properties : focal length ,spherical and chromatic aberrations are calculated,From studying the properties of the designed electron gun. we have good futures for these electron gun where are abeam current $4 \times 10^{-4} A$ can be supplied by using cathode tip of radius 100 nm.

Keywords : electrostatic lenses, Space charge, electron gun, spherical and chromatic aberrations, The finite element method (FEM).